

名古屋工業大學 正員 石田 昭
同 大學院 學生員。伊藤 親直

1、まえがき 従来、規則波の模型実験で行なわれてきた諸問題に、波の不規則性をも、考慮しようと、最近は不規則波発生装置を使って検討を加えていこうとしている。ここでは、不規則波を風洞水槽によって発生させ、水槽端から反射してくる波をとらえて、スペクトル構造に及ぼす影響を検討したものである。

2. 実験方法 図-1 が実験装

置である。風上端には碎石を $1/10$ 勾配で設け、風下端には約3mにわたって仕切板を設け水槽を三分してある。

一方は、碎石を1/6勾配で設け、その上に厚さ2.5cmのマットを敷き消波水槽とした。他方は、傾きをもたせた反射板を設け反射水槽とした。越波は許さないようにしてある。水深は30cm(S-4で約23cm)で行った。

風速は風上端より約10mの地点で測定し、10.0 m/secであった。

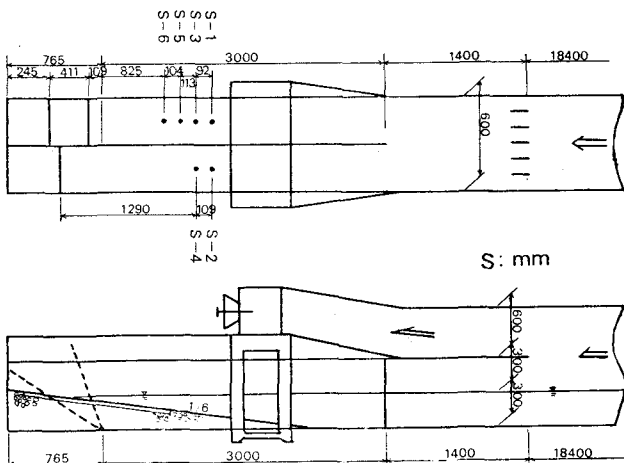


図-1 実験装置

3. 計算方法 入射波形 $h_i(t)$ は、振幅 $A(f_i)$ 、周波数 f_i および初期位相 θ_{in} とすると、(1)式に、反射波形は、反射率 $d(f_i)$ 、反射板まで到達してから戻ってくるまでの時間 $T(f_i)$ とすると、(2)式になる。

$$h_i(t) = \sum_{n=0}^{\infty} A(f_n) \exp i(2\pi f_n t + \theta_n) \quad (1)$$

$$h_r(t) = \sum_{m=0}^{\infty} d(f_m) \cdot A(f_m) \exp \{ -2\pi f_m (t - T(f_m)) + \theta_m \} \quad (2)$$

反射水槽での波形 $h_{\text{R}}(t)$ は $h_L(t)$ と $h_R(t)$ の和であるから、 $h_{\text{R}}(t)$ の自己相関関数 $P(\tau)$ は(3)式になる。

$$\begin{aligned} P(t) &= \left\{ h_i(t) + h_r(t) \right\} \cdot \left\{ h_i^*(t+\tau) + h_r^*(t+\tau) \right\} \\ &= \sum_{m=0}^{\infty} \left[A^2(f_m) \exp i(-2\pi f_m t) + d(f_m) A^2(f_m) \exp i\{-2\pi f_m (t - T(f_m))\} \right. \\ &\quad \left. + d(f_m) A^2(f_m) \exp i\{-2\pi f_m (t + T(f_m))\} + d^2(f_m) A^2(f_m) \exp i(-2\pi f_m t) \right] \end{aligned} \quad (3)$$

($\bar{\cdot}$)は時間平均、*は共役複素数である。 $A^2(f_m)$ は $p_2(t)$ のパワースペクトルであるから $E_2(f_m)$ と書き、また $P(t)$ をフーリエ変換したものの、すばわち $p_2(t)$ のパワースペクトルを $E_2(f_m)$ と書くこと(4)式による。

$$\begin{aligned}
 E_Z(f_m) &= \sum_{\tau=0}^{\infty} f(\tau) \exp i(2\pi f_m \tau) \\
 &= E_i(f_m) + d(f_m) E_i(f_m) \exp i(2\pi f_m T(f_m)) + d(f_m) E_i(f_m) \exp i(-2\pi f_m T(f_m)) + d^2(f_m) E_i(f_m) \\
 &= E_i(f_m) \left\{ 1 + 2d(f_m) \cos 2\pi f_m T(f_m) + d^2(f_m) \right\}
 \end{aligned} \tag{4}$$

よって、 $E_{\bar{z}}(f_m)$ と $E_i(f_m)$ との比は(5)式になる。

$$\frac{E_{g(f_m)}}{E_i(f_m)} = 1 + 2\alpha(f_m) \cos(2\pi f_m T(f_m)) + \alpha^2(f_m) \quad (5)$$

$E_{\text{R}}(f_0)$ は反射水槽の観測波より、 $E_{\text{D}}(f_0)$ は消波水槽の観測波より得られるので、(5)式のグラフより $T(f_0)$ を

求めれば、次方程式を解くことにより $\alpha(f_m)$ が求まることになる。

4. 実験結果とその考察

計算には 10 分間の波形記録を 0.1 sec ごとにデジタル化したものを使った。

図-2 には反射板 30°, 70° の場合、S-3, S-4 および S-1 ～ S-4 の位置でのパワースペクトルを示した。自由度は 59.5 (lag 数 200) である。図-3 は(5)式の傾向を見るため、反射水槽と、消波水槽でのパワースペクトルの比

をとって示した。図-4 は入射波と反射波の時間差 $T(f_m)$ を示した。 f 軸上には峯と峯および谷と谷の中点の周波数を、 T 軸上にはその周波数の差の逆数をプロットしている。実線および破線は微小振幅理論で深海波とした場合の波速を C 、観測点より反射板までの距離の 2 倍をしとし時間差 ($\frac{L}{C}$) を求めたものである。

図-2において、反射水槽でのパワースペクトルが振動していることがわかる。

図-3 ではピーク周波数付近だけがかなり規則的な振動をしているが、高・低周波数に離れるに従い複雑になっている。図-4において、 $T(f_m)$ が微小振幅理論より計算した値より約 2 倍大きいことがわかる。 $T(f_m)$ を 1 次関数として $\alpha(f_m)$ を求めたのが周波数全体に 0 $\leq \alpha \leq 1$ の値は得られなかった。これからは $T(f_m)$ 、 $\alpha(f_m)$ についてさらに調べていきたい。

最後に、本研究を進めるにあたり、終始ご激励下さった 細井正延教授に感謝の意を表す。

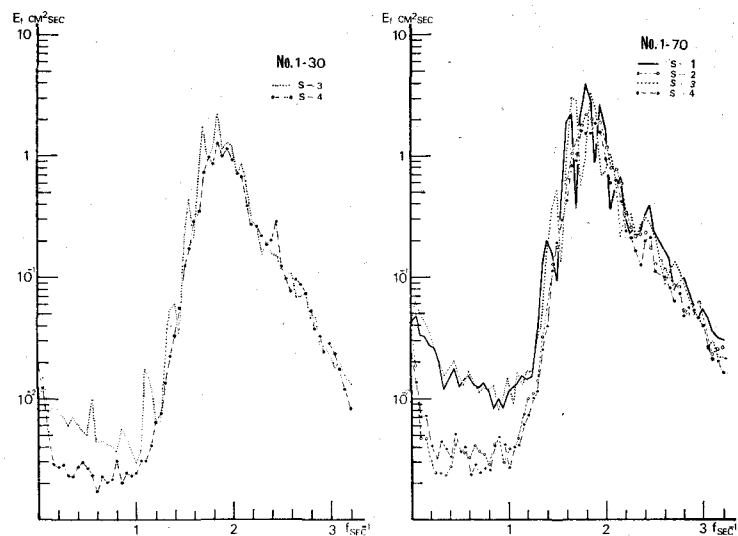


図-2 パワースペクトル

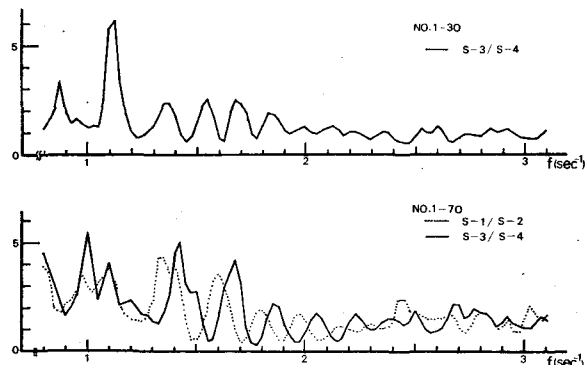


図-3 パワースペクトルの比

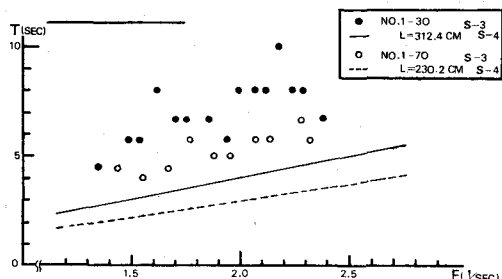


図-4 時間差 $T(f_m)$